

## شواهد باریت گرمابی در منطقه مشکان، شمال شرق سبزوار: کانی‌شناسی، زمین‌شیمی و سیال‌های درگیر

شریفه محمدی‌پور<sup>۱</sup>، آزاده ملکزاده شفارودی<sup>۲\*</sup>، مریم جاویدی مقدم<sup>۱</sup>

۱- گروه زمین‌شناسی، دانشکده علوم، دانشگاه فردوسی مشهد، مشهد، ایران

۲- گروه زمین‌شناسی و گروه پژوهشی اکتشاف ذخایر معدنی شرق ایران، دانشکده علوم، دانشگاه فردوسی مشهد، مشهد، ایران

(دریافت مقاله: ۹۸/۷/۲۸، نسخه نهایی: ۹۸/۱۱/۱)

**چکیده:** منطقه اکتشافی باریت مشکان در شمال شرق سبزوار در استان خراسان رضوی واقع است. زمین‌شناسی منطقه شامل واحدهای رسوبی کنگلومرا، ماسه‌سنگ، آهک با میان لایه‌های شیل، شیل با میان لایه‌های ماسه‌سنگ و واحدهای آتشفسانی آندزیز و تراکی آندزیز به سن ائوسن است. باریت با بافت‌های پرکننده فضای خالی، توده‌ای، شعاعی و صفحه‌ای در رگه‌هایی با راستای بیشتر شمال غرب-جنوب‌شرق ایجاد شده است. کانی‌سازی رگه‌ای در دو مرحله کانی‌سازی اصلی (باریت+کوارتز) و فاز تاخیری (کلسیت) تشکیل شده است. سیال‌های هماتیت است. کانی‌سازی رگه‌ای در نمونه‌های کوارتز و باریت بی‌شکل تا شکل دار (مخروطی و میله‌ای) و با اندازه حدود ۴ تا ۱۲ میکرون هستند. بر پایه بررسی درگیر در نمونه‌های کوارتز و باریت درگیر اولیه در بلورهای کوارتز و باریت همزمان با مرحله اصلی کانی‌سازی رگه‌ای، کمترین دمای تشکیل کانی‌سازی ۱۸۱ تا ۳۷۰ درجه سانتی‌گراد و شوری ۱۳۶ تا ۱۳۵ درصد وزنی است. بیشترین بی‌هنجاری‌های زمین‌شیمی در رگه‌ها برای روی ۳۹۴ گرم در تن، آنتیموان ۵۲ گرم در تن و سرب ۹۰ گرم در تن است. شواهدی چون کنترل ساختاری (گسل) کانی‌سازی، زمین‌شناسی، کانی‌شناسی، زمین‌شیمی و سیال‌های درگیر نشان دهنده شکل‌گیری رگه‌ها در شرایط گرمابی هستند. کاهش دما و آمیختگی با سیالی با شوری بالا در دگرگونی سیال‌های گرمابی و در نهایت شکل‌گیری رگه‌ها موثر بوده است.

**واژه‌های کلیدی:** کانی‌شناسی؛ زمین‌شیمی؛ سیال‌های درگیر؛ باریت؛ مشکان؛ خراسان رضوی.

جغرافیایی  $۱۶^{\circ} ۶' ۵۸''$  تا  $۱۶^{\circ} ۵' ۵۸''$  و عرض‌های جغرافیایی  $۳۶^{\circ} ۳۷' ۸''$  تا  $۳۶^{\circ} ۳۸' ۸''$  واقع است. این منطقه از نظر تقسیمات ساختاری در مزرعه بین فاصله پهنه‌های البرز شرقی، بینالود و شمال پهنه افیولیتی سبزوار قرار دارد (شکل ۱). منطقه مورد بررسی در جنوب کمان ماغمایی سنوزوییک قوچان-سبزوار واقع است. این کمان ماغمایی با سن ائوسن تا پلیستوسن در افیولیت سبزوار و پیرامون آن نفوذ کرده است و از شمال تا کوه‌های البرز ادامه دارد [۳].

در مجموعه کمان ماغمایی قوچان-سبزوار، معادن (فیروزه نیشابور [۴]، آهن شترسنگ [۵]، آهن کلاه ابوذر [۶]) و چند

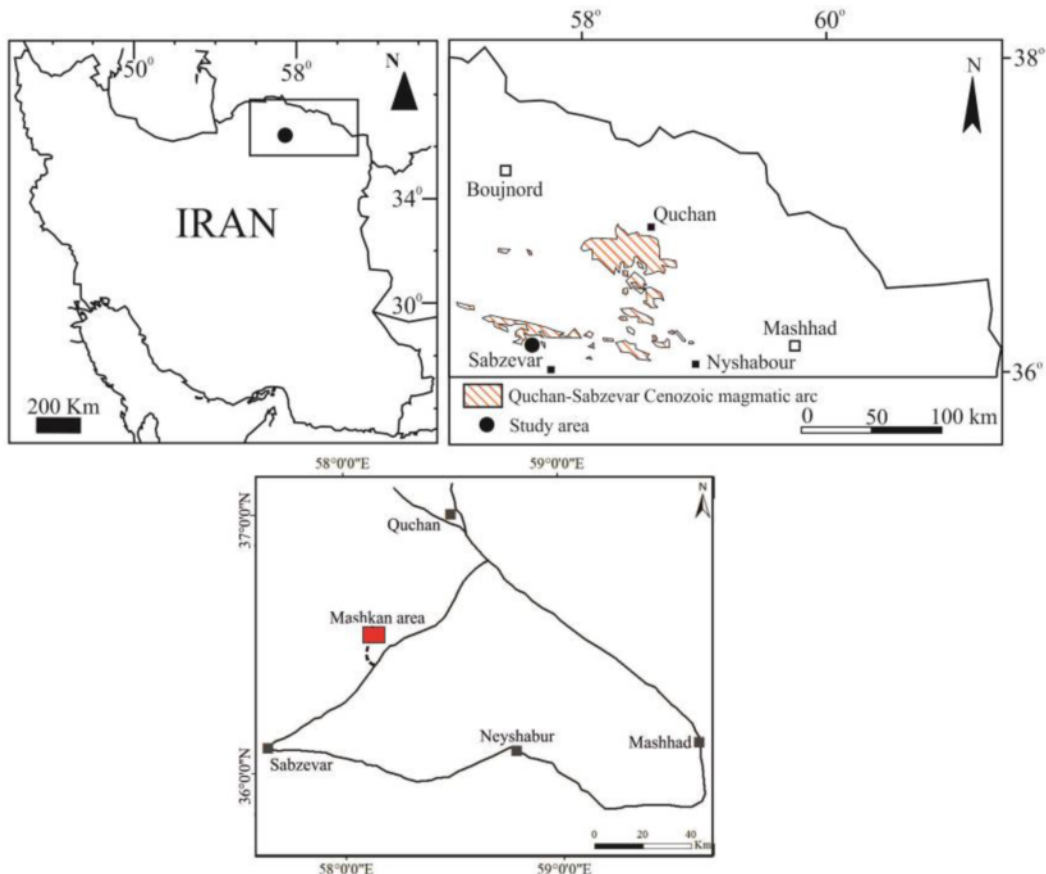
**مقدمه**  
حدود ۱۰۰ کانسار و منطقه پی جویی کوچک باریت در ایران وجود دارند که ذخایر آن‌ها به حدود ۱۰ میلیون تن می‌رسد [۱]. سن کانی‌سازی‌ها که بیشتر بر اساس سن سنگ میزان برآورد شده است، از اواخر پرکامبرین تا میوسن متغیر است [۲]. بزرگترین ذخایر باریت ایران در پهنه‌های البرز مرکزی و ایران مرکزی دیده شده‌اند و سنگ میزان آنها بیشتر دولومیت یا سنگ‌های آتشفسانی-رسوبی است [۲]. منطقه اکتشافی باریت مشکان به مساحت یک کیلومتر مربع در ۵۵ کیلومتری شمال-شرق شهرستان سبزوار، در استان خراسان رضوی بین طول‌های

کانسارهایی در این پهنه فلزیابی در شمال شرق ایران است.

### روش کار

در راستای دستیابی به اهداف مورد نظر، بررسی های صحرایی و نمونه برداری از واحدهای سنگی و رگه ها در منطقه اکتشافی باریت مشکان انجام شد. بیش از ۶۰ نمونه سنگی از منطقه مورد بررسی جمع آوری شد که از این میان، ۲۵ مقطع نازک برای بررسی های سنگنگاری و ۱۰ مقطع نازک صیقلی و قطعه صیقلی برای بررسی کانی های فلزی تهیه شدند. نقشه زمین-شناختی-کانی سازی در نرم افزار ArcGIS تهیه گردید. به منظور اکتشاف های شیمیایی، ۱۰ نمونه زمین شیمیایی به روش خرد سنگی از رگه های کانی سازی برداشت شد که از این میان، ۹ نمونه به روش طیف سنجی جرمی پلاسمای جفت شده القایی (ICP-MS) برای عناصر معدنی و ۵ نمونه به روش عیار سنجی گرمایی برای عنصر طلا در آزمایشگاه زرآزمای تجزیه شدند. همچنین به منظور تفسیر زمین شیمیایی دقیق تر کانی-سازی باریت، از نتایج تجزیه ۱۵ نمونه از منطقه به روش طیف سنجی فلورسانی پرتوی X (XRF) [۱۰] استفاده شد.

منطقه اکتشافی (مس-طلای پورفیری جلمبادان [۷] و مگنتیت-آپاتیت خانلنق [۸]) وجود دارد که نشانگر پتانسیل بالای کانی سازی در این کمان مأگمایی است. با وجود بررسی های جامع بر انواع کانی سازی های مس، طلا و آهن در کمان مأگمایی قوچان-سبزوار، پژوهشی پیرامون کانی سازی باریت در این کمان انجام نشده است. تنها نتایج منتشر شده پیرامون منطقه مورد بررسی شامل نقشه ۱:۱۰۰۰۰۰ مشکان [۹] گزارش پایان عملیات اکتشاف باریت مشکان [۱۰] است. تاکنون بررسی جامع و گسترهایی بر ویژگی های کانی شناختی باریت و سیال های عامل کانی سازی در این منطقه اکتشافی انجام نشده است. در این پژوهش، نوع کانی زایی و چگونگی تشکیل آن بر پایه بررسی های زمین شناختی، کانی شناختی، بافت، زمین شیمیایی و سیال های در گیر مشخص شده است. این کانسار بزرگترین کانی سازی باریت شناخته شده در کمان مأگمایی قوچان-سبزوار محسوب می شود و از آنجا که کانسارهای باریت در این کمان کمتر بررسی شده اند، بررسی جامع و تعیین خاستگاه آن کمک شایانی به اکتشاف چنین



شکل ۱ جایگاه منطقه مشکان در شمال شرق ایران و راه های دسترسی به آن همراه با موقعیت کمربند مأگمایی قوچان-سبزوار.

سبزوار) تا پلیو-پلیستوسن در شمال (جنوب قوچان) تغییر می‌کند. جوانترین واحدهای سنگی در مقیاس ناحیه‌ای نیز رسوب‌های آواری و نهشتۀ‌های کواترنری هستند.

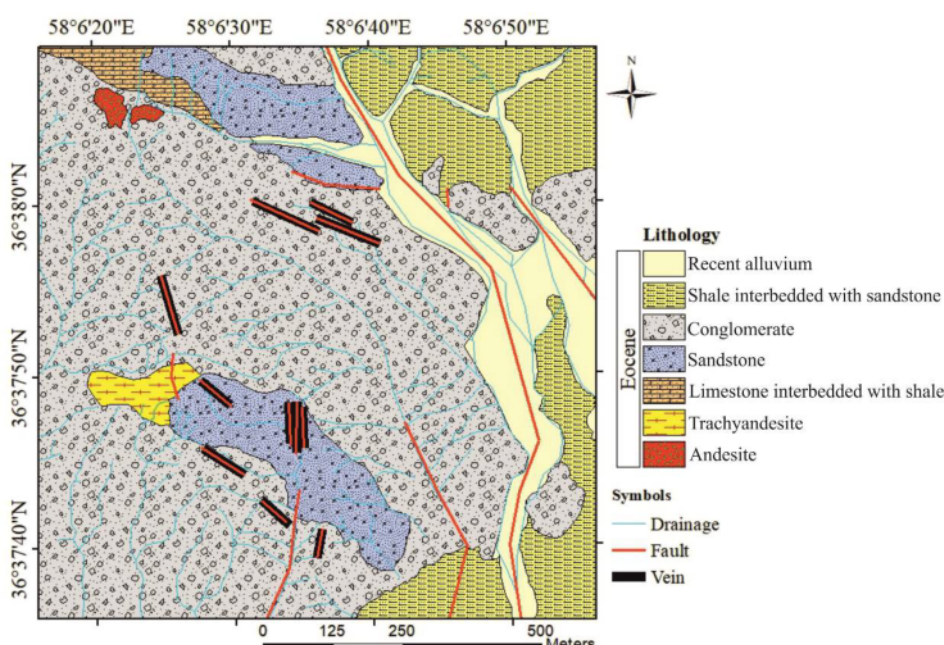
#### زمین‌شناسی

منطقه اکتشافی باریت مشکان در بخش شرقی نقشه زمین‌شناسی ۱:۱۰۰۰۰ مشکان [۹] واقع است. بر اساس بررسی‌های صحرایی و آزمایشگاهی، واحدهای سنگی شناسایی شده در منطقه شامل واحدهای آتشفسانی (آنذیت، تراکی آندزیت) و رسوبی (کنگلومر، ماسه‌سنگ، آهک با میان لایه‌های شیل و شیل با میان لایه‌های ماسه‌سنگ) به سن ائوسن هستند. قدیمی‌ترین واحدهای شناسایی شده در منطقه شامل واحدهای آتشفسانی آندزیت و تراکی آندزیت هستند. واحد آندزیتی با گسترش بسیار کم در شمال غرب منطقه رخمنون دارد (شکل ۲). این واحد دارای بافت پوروفیری بوده و شامل درشت بلورهایی از پلازیوکلاز (۱۵-۲۰ درصد)، فلدسپارقلیایی ۳-۵ درصد)، هورنبلندر (۸-۱۰ درصد) و بیوتیت (۳-۵ درصد) است (شکل ۳ الف). در این واحد، هورنبلندها اپاکیتی شده‌اند. این امر در اثر اکسایش گرمابی، تغییرات دما، نرخ سرد شدگی و فوران، کاهش فشار جانبی و در گریزندگی اکسیژن بالا انجام می‌شود [۱۲]. وجود هورنبلندر باله سوخته نشان از افت ناگهانی فشار بخار آب طی صعود مانگما دارد [۱۳].

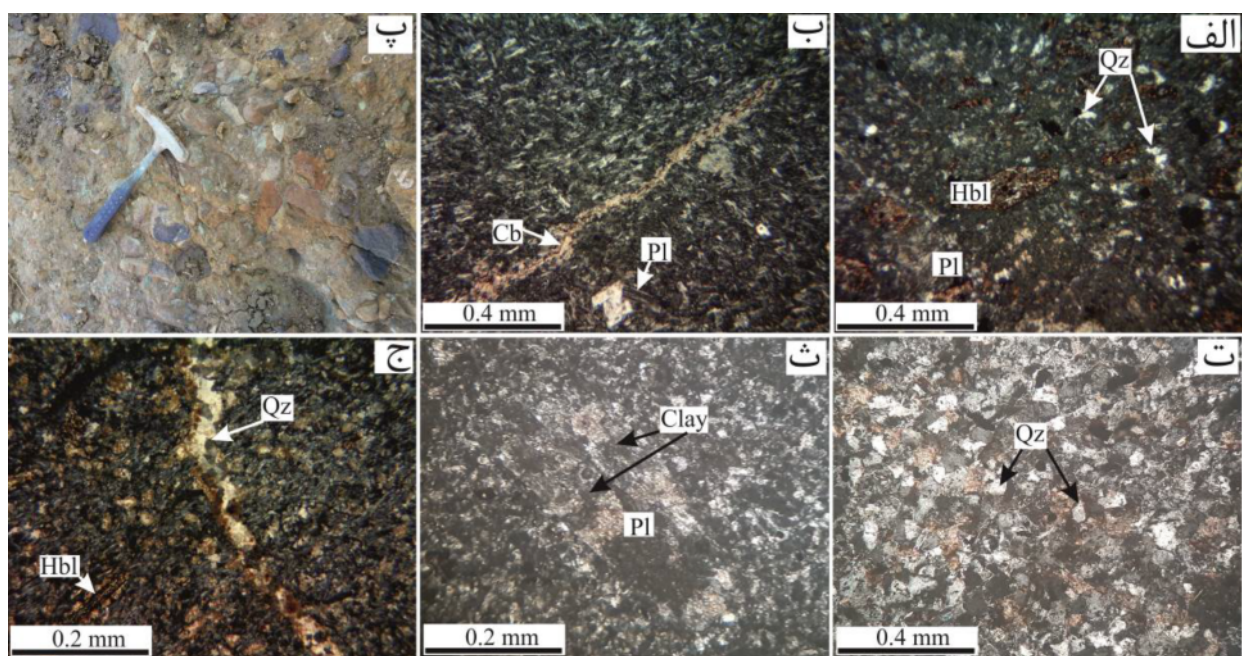
برای بررسی سیالات درگیر، تعداد ۵ مقطع دوبرصیقل از کانی‌های باریت، کوارتز و کلسیت تهیه شد. آزمایش‌های لازم توسط یک دستگاه سرد کننده و گرم کننده ساخت شرکت لینکام مدل 600 THM در دانشگاه فردوسی مشهد انجام شد. دقت کار دستگاه در مرحله سرمایش و گرمایش کردن  $\pm 1^{\circ}\text{C}$  گستره دمایی دستگاه ۱۹۰-۶۰۰ درجه سانتیگراد است. مقدار شوری در سامانه  $\text{H}_2\text{O}-\text{NaCl}$  با استفاده از نرم افزار HOKIEFLINCS- $\text{H}_2\text{O}-\text{NaCl}$  [۱۱] محاسبه شد. سپس، نمودارهای مناسب در نرم افزار SPSS رسم شدند.

#### زمین‌شناسی ناحیه‌ای

پس از تشکیل و جایگیری مجموعه افیولیتی سبزوار و ادامه فرورانش پوسته اقیانوسی نئوتیس سبزوار به زیر صفحه توران، فعالیت‌های ماگمایی از اوایل ائوسن آغاز شد و به دلیل تداوم فرورانش پوسته اقیانوسی و هضم آن، آخرین فراورده‌های ماگمایی آن تا پلیو-پلیستوسن فوران داشته است. این امر باعث تشکیل کمان ماگمایی قوچان-سبزوار شد. سنگ‌های آتشفسانی و نفوذی کمان بر اساس بررسی‌های علوی [۳] به سه گروه سنگ‌های آذرین حد بواسطه ائوسن، سنگ‌های اسیدی الیگوسن-پلیوسن و سنگ‌های قلیایی میوسن-پلیستوسن (باالت قلیایی و شوشونیت) تقسیم می‌شود. سن سنگ‌های آذرین این کمان از ائوسن در جنوب (در نزدیکی افیولیت



شکل ۲ نقشه زمین‌شناسی-کانی‌سازی منطقه مشکان.



شکل ۳ تصاویر میکروسکوپی و صحرایی از واحدهای سنگی و دگرسانی منطقه اکتشافی باریت مشکان. (الف) واحد آندزیت با هورنبلندهای اپاسیتی شده، (ب) واحد تراکی آندزیت دارای رگچه‌های کربناته، (پ) رخنمون واحد کنگلومرایی در صحراء، (ت) واحد ماسه‌سنگی، (ث) دگرسانی آژیلیک در واحد آندزیتی، (ج) کوارتز به صورت رگچه‌ای و پراکنده در واحد آندزیتی. تصاویر میکروسکوپی در XPL گرفته شده است. اختصارات: QZ = کوارتز، HBL = هورنبلند، PL = پلاژیوکلاز، CBL = کربنات [۱۴].

### دگرسانی و کانی‌سازی

کانی‌سازی رگه‌ای باریت در منطقه کنترل گسلی داشته و راستای این رگه‌ها بیشتر شمال‌غرب-جنوب شرقی است و تعداد کمی نیز راستای شمالی-جنوبی دارد. شیب رگه‌ها اغلب ۱۰ تا ۶۰ درجه به سمت جنوب و گاهی به سمت شمال است. عرض این رگه‌ها ۳ تا ۱۰ متر و طول آنها از ۲۰ تا ۱۰۰ متر متغیر است. سنگ میزان رگه‌ها بیشتر واحد کنگلومرایی و کمتر واحد ماسه‌سنگی است.

دگرسانی در لبه رگه‌ها بسیار محدود بوده و اغلب تا فاصله چند متری از رگه قابل دیده است. دگرسانی‌های لبه رگه شامل آژیلیک (شکل ۳ ث)، سیلیسی (شکل ۳ ج) و کربناتی است. در واحد کنگلومرایی، دگرسانی‌ها بیشتر بر قطعه‌های این واحد اثر گذاشتند و تفاوتی از نظر شدت دگرسانی و جنس قطعه‌ها دیده نشد. گفتنی است که قطعه‌های سیلیسی در این واحد بدون دگرسانی هستند. دگرسانی آژیلیک در لبه رگه و سنگ میزان کانی‌سازی شناسایی شد. در این دگرسانی، فلدسپارها بیشتر (۱۰ تا ۱۵ درصد) به کانی‌های رسی (شکل ۳ ث) و کمتر (۳ تا ۵ درصد) به سرسیت تبدیل شده‌اند. دگرسانی سیلیسی شامل شکل‌گیری کوارتز همراه با کانی‌سازی باریت

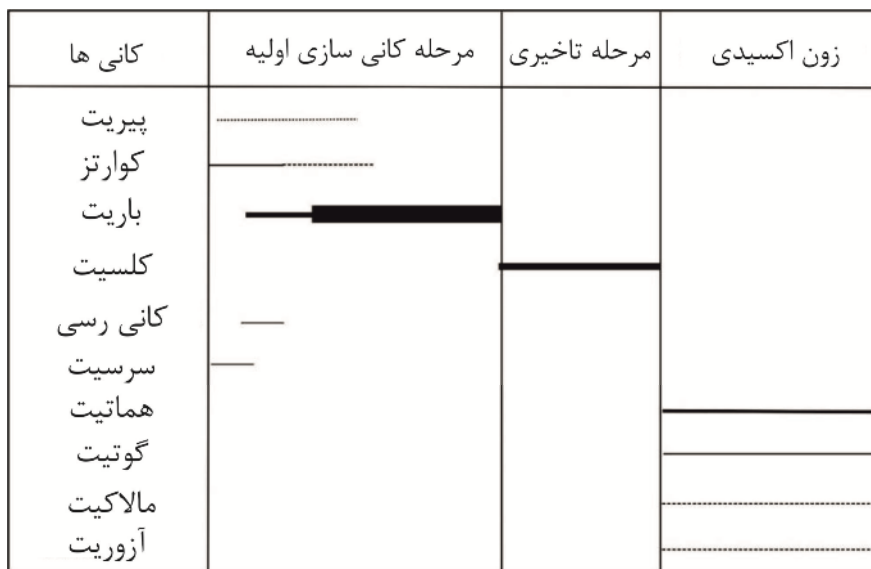
واحد تراکی آندزیتی نیز گسترش بسیار کمی در غرب منطقه دارد (شکل ۲). این واحد بافت پورفیری تا تراکیتی دارد و کانی‌های تشکیل دهنده آن شامل ۲۰ تا ۲۵ درصد پلاژیوکلاز، ۵ تا ۱۰ درصد فلدسپارقالیایی و ۸ تا ۱۰ درصد هورنبلند هستند (شکل ۳ ب).

واحد کنگلومرایی بیشترین گسترش را در منطقه مورد بررسی دارد (شکل ۲) و سنگ میزان اصلی کانی‌سازی است. این واحد شامل قطعه‌هایی با اندازه چند میلی‌متر تا حدود ۲۰ سانتی‌متر و گرد شدگی خوب تا متوسط است (شکل ۳ پ). جنس قطعه‌های واحد کنگلومرایی متفاوت است و اغلب سیلیسی با گرد شدگی بسیار خوب تا آتشفسانی چون آندزیت و تراکی آندزیت هستند.

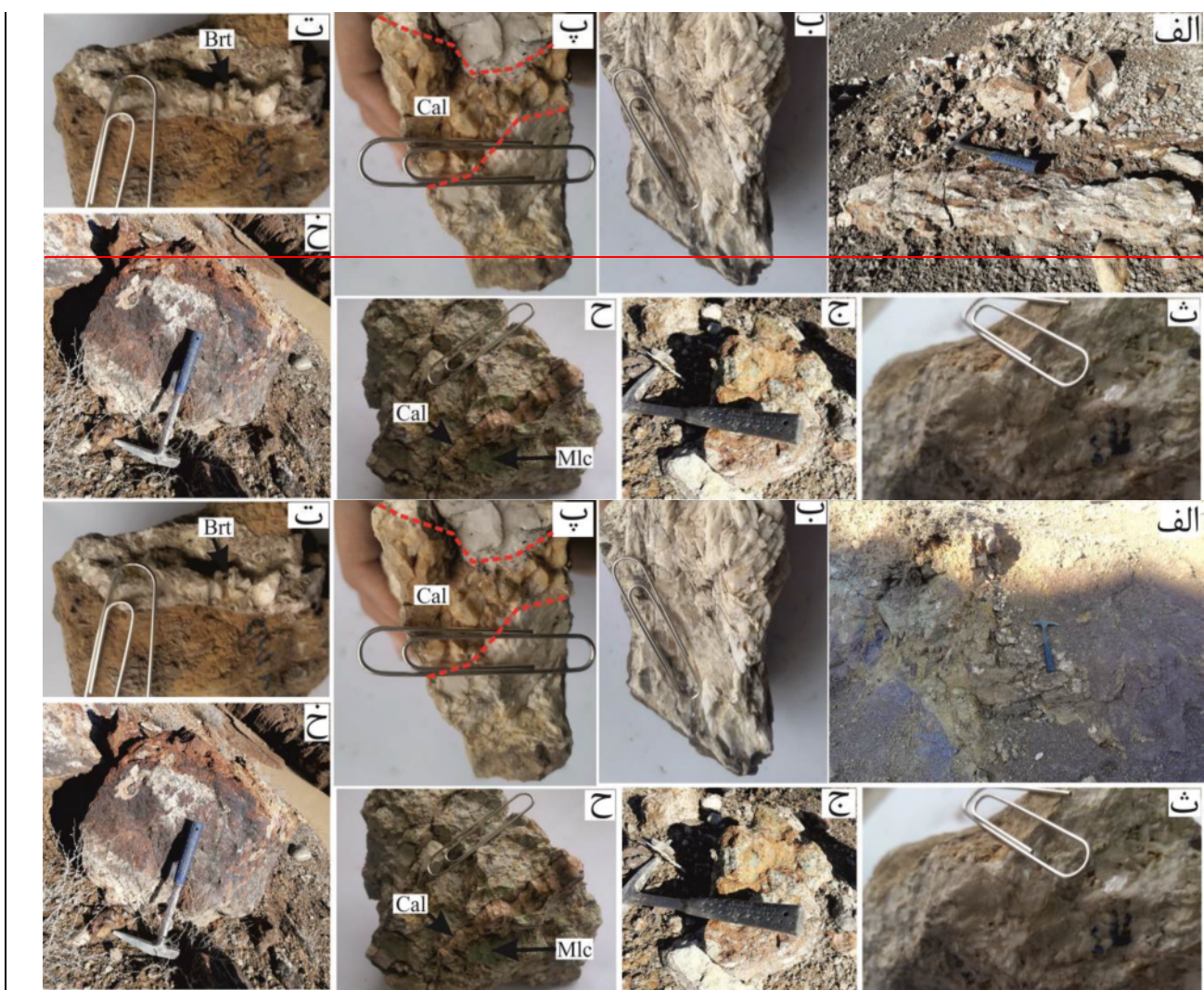
واحد ماسه‌سنگی در شمال و جنوب منطقه گسترش یافته است (شکل ۲). این واحد به رنگ قرمز تا نخودی بوده و بیشتر از کوارتز و کمتر کربنات و فلدسپار تشکیل شده است (شکل ۳ ت). همچنین، واحدهای آهک با میان لایه‌های ماسه‌سنگ به رنگ خاکستری تا سبز در شمال شرق و جنوب شرق منطقه رخنمون دارند (شکل ۲).

تقسیم نمود (شکل ۴). در رگه‌های باریت+کوارتز، باریت دارای بافت‌های پرکننده فضای خالی، توده‌ای، صفحه‌ای و شعاعی است (شکل‌های ۵الف تا ۷) و همچنین به صورت رگچه‌ای در شکستگی‌های واحدهای کنگلومراپی دیده می‌شود. در بعضی نمونه‌های دستی، بلورهای کانی باریت به صورت سوزنی شکل با اندازه‌های ۱ تا ۲ سانتی متر دیده شد. باریت بیش از ۹۰ درصد رگه‌ها را دربر گرفته است.

است. این کوارتزها به اندازه چند ده میکرون تا ۲ میلی‌متر، اغلب به صورت پراکنده در زمینه سنگ یا رگچه‌ای شکل گرفته‌اند (شکل ۳ج). دگرسانی کربناتی شامل رگه و رگچه‌های کلسیتی است. این رگه و رگچه‌ها (شکل ۳ب) در قسمت‌هایی رگه‌های دربردارنده کانی‌سازی را قطع نموده‌اند. کلسیت به صورت شکل‌دار و به اندازه ۰/۲ تا ۵ میلی‌متر است. کانی‌سازی در منطقه باریت مشکان را می‌توان به دو مرحله کانی‌سازی اصلی (باریت+کوارتز) و فاز تاخیری (کلسیت)



شکل ۴ توالی همبری کانی‌سازی در منطقه اکتشافی باریت مشکان.



شکل ۵ تصاویر صحراوی و نمونه دستی از کانی‌سازی منطقه اکتشافی باریت مشکان. الف) رخنمون رگه باریت در صحراء، ب) باریت با بافت صفحه‌ای، پ) باریت با بافت صفحه‌ای که توسط رگه کلسیتی قطع شده، ت) باریت با بافت شعاعی، خ) باریت با بافت تودهای، ج) آزوریت همراه با اکسید آهن در واحد کنگلومرایی، ح) کانی‌سازی مالاکیت در واحد کنگلومرایی که توسط رگچه کلسیتی قطع شده است، خ) اکسیدهای آهن (هماتیت و گوتیت). اختصارات: Brt = باریت، Cal = کلسیت، Mlc = مالاکیت [۱۴].

کلسیت به صورت نیمه‌شکل‌دار تا شکل‌دار با اندازه ۰،۲ تا ۳ میلی‌متر در رگه‌هایی به عرض ۲۰ تا ۷۰ سانتی‌متر شکل گرفته است. اندازه این کانی در رگچه‌های کلسیتی، بین چند ده میکرون تا ۱ میلی‌متر است.

کانی‌های ثانویه مس‌دار شناسایی شده در منطقه شامل آزوریت و مالاکیت هستند. این کانی‌ها بیشتر در حفره‌ها و درز و شکستگی‌ها شکل گرفته‌اند (شکل‌های ۵ ج و ح) و شواهدی از کانی‌های سولفیدی به صورت باقیمانده دیده نشد. اکسیدهای آهن در اثر اکسایش و هوادگی کانیهای اولیه شکل گرفته‌اند. اکسیدهای آهن در سطح بیشتر به صورت آغشته‌گی در سطح رگه‌ها و کمتر به صورت رگچه‌ای شناسایی

پیریت در رگه و رگچه‌ها شناسایی نگردید، اما غالب پیریت که به طور کامل به گوتیت تبدیل شده در بعضی رگه‌ها دیده شد. تنها باطله همراه با کانی‌سازی کوارتز است. شکل‌گیری کوارتز به رگه و سنگ دیواره محدود است. کوارتز با بافت پر کننده فضای خالی و اندازه ۲۰ میکرون تا ۱ میلی‌متر، در هم‌رشدی با کانی باریت و یا پراکننده در سنگ میزبان با اندازه ۲۰ تا ۵۰ میکرون شناسایی شد. همچنین، کوارتزهای نهان بلورین به صورت پرکننده فضای خالی شناسایی گردیدند. کوارتز کمتر از ۵ درصد رگه‌ها را تشکیل می‌دهد. رگه و رگچه‌های کلسیتی در بعضی قسمت‌های رگه‌های باریت+کوارتز منطقه را قطع نموده‌اند (شکل‌های ۵ پ و ح).

جامد باریت- سلسیت وابسته به عضو نهایی باریت هستند. مقدار Ba نیز از ۵۵/۱۸ تا ۲۱/۲۷ درصد متغیر است. مقدار  $\text{SiO}_2$  از ۴۴/۸ تا ۲/۴۶ درصد بوده که مربوط به حضور کوارتز در این رگه‌هاست. مقدار CaO از ۰/۱۵ تا ۲۸ درصد  $\text{TiO}_2$  است که بستگی به مقدار کلسیت در رگه‌ها دارد. مقدار  $\text{TiO}_2$  کمتر از ۰/۶۲ درصد است. مقدار کم  $\text{TiO}_2$  اغلب در باریتهای گرمابی دیده می‌شود (در شرایط گرمابی، کمتر از ۱ درصد)، زیرا در این نوع ذخایر عناصر گرمابی اغلب غنی شده و مواد Ti دار کمتری وارد می‌شوند [۱۷]. مقدار  $\text{Fe}_2\text{O}_3$  در رگه‌ها نیز از ۰/۴۲ تا ۷/۳۶ درصد متغیر بوده که به دلیل حضور اکسیدهای آهن در رگه‌هاست.

شدند (شکل ۵ خ). گوتیت اکسید آهن اصلی ناشی از جانشینی پیریت در اثر اکسایش به صورت پراکنده، رگچه‌ای و بافت گل کلمی دیده می‌شود.

#### زمین شیمی باریت و رگه‌ها

توزیع عناصر در واحدهای سنگی و بررسی وابستگی آنها به هم، از مهم‌ترین موارد بررسی‌های زمین شیمیایی است که با استفاده از آن می‌توان به محیط و فرایندهای اثرگذار در پدیده‌های مختلف زمین‌شناسی پی برد [۱۵، ۱۶].

شیمی باریت: بر اساس نتایج تجزیه‌ها، (جدول ۱) مقدار Sr باریت در رگه‌ها از ۰/۵۲ تا ۲/۲۷ درصد متغیر است که این مقدار برابر با ۱۰/۹ تا ۴/۷۹ درصد  $\text{SrSO}_4$  است. این مقدار  $\text{SrSO}_4$  نشان می‌دهد که باریتهای مشکان در سری اتحال

جدول ۱ نتایج تجزیه نمونه‌های زمین شیمیایی مورد بررسی به روش XRF در منطقه‌های باریت مشکان [۱۰] (برحسب درصد).

49217	49216	49215	49214	49213	49212	49211	49210	49209	49208	Sample .N
۵۲/۲	۳۷/۶	۴۵/۶	۴۹/۶	۶۰/۳	۳۶	۵۶/۴	۴۸/۹	۲۲/۹	۳۲/۳	BaO
۲۷/۸	۲۰/۴	۲۵/۳	۲۶/۶	۳۲/۸	۱۹/۶	۳۱/۵	۲۶/۳	۱۲/۹	۱۷/۹	$\text{SO}_3$
۰/۷۴	۱/۰۱	۱/۹۸	۰/۹۹	۱/۷۱	۱/۰۷	۲/۷۱	۰/۹۹	۰/۶۲	۰/۶۶	SrO
۱۱/۱۵	۲۱/۳۱	۸/۷۱	۱۵/۱۲	۲/۶۳	۷/۱۸	۲/۴۶	۱۱/۰۲	۳/۷۳	۱۶	$\text{SiO}_2$
۰/۵۳	۰/۵۸	۰/۵۱	۰/۵۶	۰/۶۱	۰/۴۵	۰/۶۵	۰/۵	۰/۲۶	۰/۴۶	$\text{TiO}_2$
۴/۶۴	۵/۵۷	۴/۷	۲/۰۸	۰/۴۲	۷/۳۶	۳/۹۴	۵/۱۲	۵/۳۳	۴/۹۴	$\text{Fe}_2\text{O}_3$
۰/۱۵	۲/۴۴	۱/۲۱	۲/۸۸	۰/۴۴	۱۲/۴	۰/۳۸	۲/۴۸	۲۸	۳/۲۹	CaO
۰/۴۲	۴/۹۸	۸/۹۱	۰/۴۳	۰/۱۹	۲/۲۵	۰/۲۷	۰/۳۸	۰/۴۳	۱۷/۳۱	MgO
۰/۰۳	۰/۰۳	۰/۰۲	۰/۰۴	۰/۰۳	۰/۰۲	۰/۰۳	-	۰/۰۲	-	CuO
۱/۳۳	۲/۳۷	۲/۲۳	۰/۵	۰/۴۵	۱۲/۴	۱/۰۴	۳/۴۷	۲۴/۲	۵/۰۲	LOI
نتایج محاسبه شده										
۴۶/۴۵	۳۳/۴۶	۴۴/۵۸	۴۴/۱۴	۵۳/۶۶	۳۲/۰۴	۵۰/۱۹	۴۳/۵۲	۲۱/۲۷	۲۶/۶۳	Ba
۰/۶۲	۰/۸۴	۱/۶۶	۰/۸۳	۱/۴۳	۰/۸۹	۲/۲۷	۰/۸۳	۰/۵۲	۰/۵۵	Sr
۱/۳	۱/۷۸	۳/۵	۱/۷۵	۳/۰۲	۱/۸۹	۴/۷۹	۱/۷۵	۱/۰۹	۱/۱۶	$\text{SrSO}_4$

#### سیال‌های درگیر

دماسنجی به روش گرمایش و تعیین نوع نمک‌ها و مقدار شوری به روش سرمایش بر سیال‌های درگیر کانی‌های کوارتز و باریت

(مرحله کانی‌سازی) و کلسیت (مرحله تاخیری) انجام شد. بر این اساس، اغلب سیال‌های درگیر در نمونه‌ها بی‌شکل تا شکل‌دار و به صورت مخروطی و به مقدار کمتر میله‌ای هستند. اندازه سیال‌های درگیر بررسی شده حدود ۴ تا ۱۲ میکرون است. بر اساس تقسیم بندی‌های متداول [۱۸، ۱۹]، این سیال‌ها از نوع

زمین شیمی رگه‌ها: مقدار مس و سرب به ترتیب از ۲ تا ۱۱ گرم در تن (با میانگین ۵/۵ گرم در تن) و ۶ تا ۹۰ گرم در تن (با میانگین ۲۵/۲ گرم در تن) است (جدول ۲). بیشترین مقدار مس مربوط به حضور کانی‌های ثانویه ملاکیت و آزویریت در رگه‌های است. مقدار نقره در رگه‌ها بسیار ناچیز و کمتر از ۰/۵۳ گرم در تن است. مقدار روی در نمونه‌های برداشت شده از محل رگه‌ها بین ۲۸ تا ۳۹۴ گرم در تن (با میانگین ۱۴۳/۳۳ گرم در تن) متغیر است (جدول ۳). همچنین مقدار آنتیموان نیز در رگه‌ها بین ۱ تا ۵۲ گرم در تن و مقدار طلا کمتر از ۵ میلی- گرم در تن است (جدول ۳).

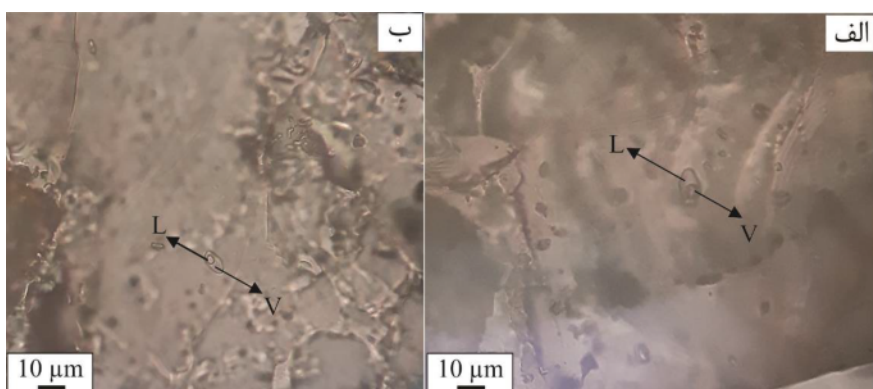
میانگین ۲۱۳ درجه سانتی‌گراد، باریت ۱۸۱ تا ۲۰۴ درجه سانتی‌گراد با میانگین ۱۹۴/۳ درجه سانتی‌گراد و کلسیت ۱۵۸ تا ۱۴۰ درجه سانتی‌گراد با میانگین ۱۵۰ درجه سانتی‌گراد است (جدول ۳ و شکل ۷ الف).

**جدول ۲** نتایج تجزیه نمونه‌های زمین‌شیمیایی خرد سنگی منطقه باریت مشکان به روش ICP-OES (بر حسب ppm).

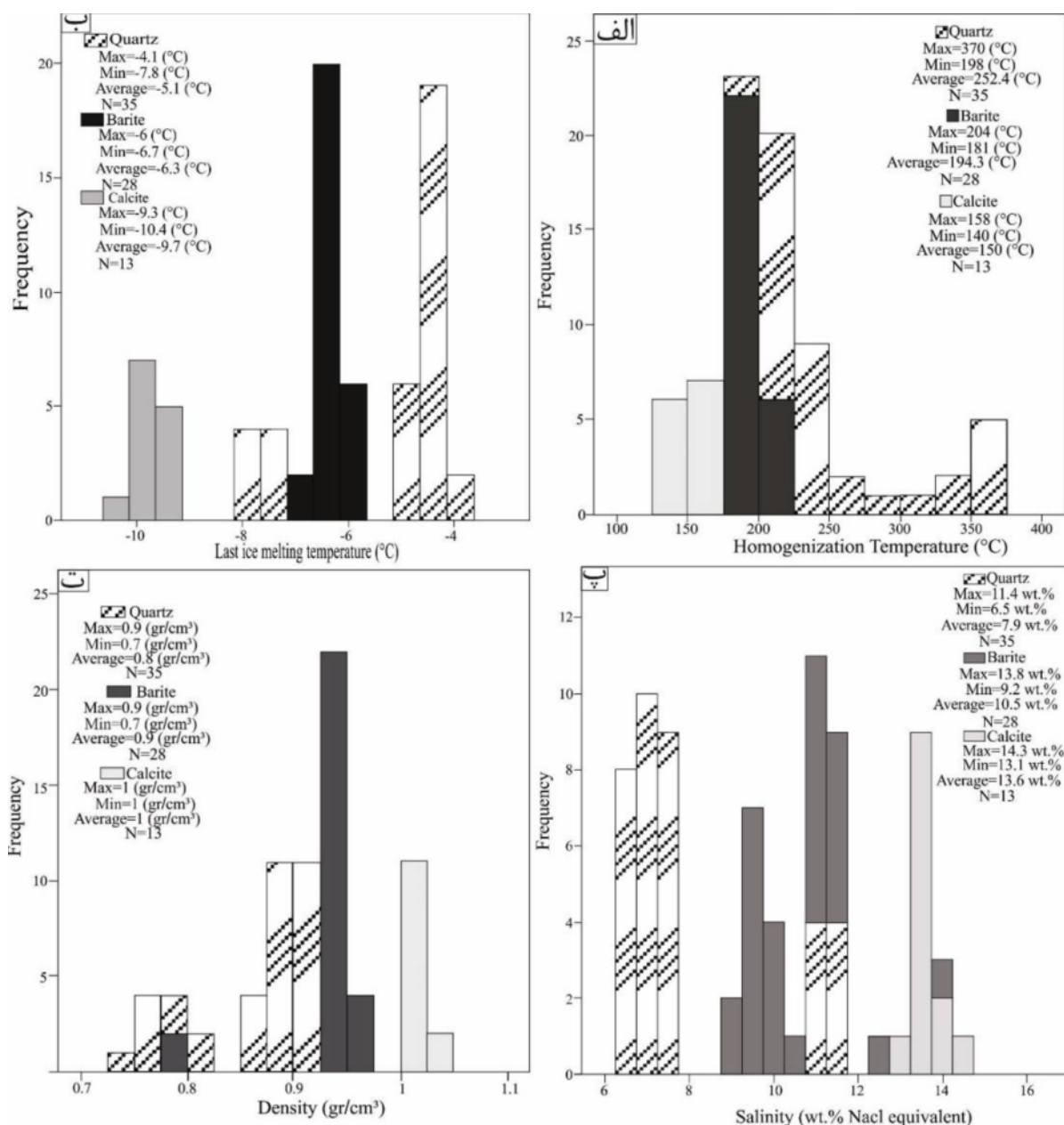
A-13C	A-12C	A-10C	A-06C	A-05C	A-04C	A-03C	A-02C	A-01C	Sample N
۵۳	۴۱	۴۶	۲۸	۴۷	۴۳	۳۷	۴۴	۴۱	Ag (ppm)
۲,۲	۱,۶	۱,۳	۲,۳	۱,۴	۱,۹	۱,۸	۲,۵	۲	As (ppm)
۴۶۸۶	۲۲,۸	۱۹,۴	۱۳,۲	۷۴,۳	۲,۳	۳,۷	۳۴۰,۸	۲۱۲۶	Ba (ppm)
۲	۵	۳	۵	۶	۵	۷	۶	۱۱	Cu (ppm)
۹۰	۷	۶	۲۱	۶	۷	۱۷	۶۷	۶	Pb (ppm)
۱۹,۵	۱,۳	۱,۳۱	۲۷,۹	۲۷	۵۲,۴	۱۷,۶	۹,۶	۱,۲	Sb (ppm)
۲۷۳	۳۰	۲۸	۲۸۴	۸۹	۶۴	۱۰۱	۳۹۴	۲۸	Zn (ppm)

**جدول ۳** نتایج بررسی‌های سیال‌های درگیر اولیه (P) در کانی‌های کوارتز، باریت و کلسیت در رگه‌های باریت منطقه مشکان.

شماره نمونه	کانی میزبان	تعداد	Th (°C)	Tm-ice (°C)	(wt.%NaCl)	چگالی (gr.cm³)
Mb36	کوارتز	۱۵	۲۲۴ تا ۱۹۸	-۴,۷ تا -۴,۱	۶,۵ تا ۷,۴	۰,۸۹ تا ۰,۹۲
Mb 30	کوارتز	۲۰	۳۷۰ تا ۲۲۸	-۷,۸ تا -۴,۲	۶,۷ تا ۱۱,۴	۰,۷۳ تا ۰,۸۷
Mb 32	باریت	۱۴	۲۰۴ تا ۱۸۱	-۶,۲ تا -۶,۱	۹,۲ تا ۱۳,۸	۰,۹۵ تا ۰,۷۹
Mb 38	باریت	۱۴	۲۰۰ تا ۱۸۷	-۶,۳ تا -۶,۵	۱۰,۱ تا ۱۳,۶	۰,۷۱ تا ۰,۹۰
Mb37	کلسیت	۱۳	۱۴۰ تا ۱۵۸	-۱۰,۴ تا -۹,۳	۱۳,۱ تا ۱۴,۳	۱,۰۲ تا ۱,۰۳



شکل ۶ تصاویر میکروسکوپی از سیال‌های درگیر دوفازی (LV) در (الف) کوارتز و (ب) باریت.



شکل ۷ نمودارهای (الف) دمای همگن شدگی، (ب) دمای آخرین ذوب یخ، (پ) مقدار شوری و (ت) چگالی سیال‌های درگیر در رگه‌های باریت منطقه باریت مشکان.

است. مقدار  $T_{fm}$  بدست آمده بیانگر حضور نمک‌های  $\text{NaCl}$  و  $\text{CaCl}_2$  در سیال کانه‌سازی است.

دمای نهایی ذوب ( $T_m$ ) نیز مقدار شوری را مشخص می-کند. دمای نهایی ذوب برای کوارتز نسل اول  $-5/2$ - $-4/1$ - درجه سانتی‌گراد، برای کوارتز نسل دوم  $-7/8$ - $-6/7$ - درجه سانتی‌گراد، برای باریت  $-6/7$ - $-6/6$ - درجه سانتی‌گراد و برای

نخستین دمای ذوب شدگی ( $T_{fm}$ ) رابطه مستقیمی با ترکیب نمک موجود در سیال گرمایی دارد [۱۹, ۱۸]. نخستین دمای ذوب شدگی در این سیال‌ها در گستره  $-5/3/8$ - $-5/2$ - $-5/1$ - درجه سانتی‌گراد برای کوارتز نسل اول،  $-5/3/4$ - $-5/2$ - درجه سانتی‌گراد برای کوارتز نسل دوم،  $-5/3/6$ - $-5/2/3$ - درجه سانتی‌گراد برای باریت و  $-5/3/1$ - $-5/2/1$ - درجه سانتی‌گراد برای کلسیت

سانتی‌گراد و  $10/5$  تا  $12$  درصد وزنی نمک طعام اندازه‌گیری شد. این مقادیر برای سیال‌های درگیر مربوط به کانی کوارتز نسل دوم  $125$  تا  $280$  درجه سانتی‌گراد و  $6$  تا  $8$  درصد وزنی نمک طعام است (جدول ۳ و شکل ۹).

سیال‌ها در کانی‌های باریت نسبت به کوارتز دمای همگن شدگی کمتر و شوری بیشتری را نشان می‌دهند و کمترین دمای همگن شدگی ( $140$ ) تا  $158$  درجه سانتی‌گراد) و بیشترین شوری ( $13/17$  تا  $14/35$  درصد وزنی نمک طعام) در سیال‌های درگیر مربوط به کانی کلسیت در مرحله تاخیری است (شکل ۹). این شواهد نشان می‌دهد که همزمان با کاهش دما و افزایش شوری، نخست کانی‌سازی باریت و کلسیت در رگه‌ها شکل گرفته است. افزایش شوری در سیال‌های درگیر می‌تواند به فرایندهایی چون جوشش یا آمیختگی با سیالی با دمای یکسان و شوری بیشتر مربوط باشد. از آنجاکه شواهد جوشش در سیال‌های درگیر (مانند وجود سیال‌های دوفازی غنی از مایع و غنی از بخار) دیده نشد، آمیختگی با سیالی با شوری بیشتر که می‌تواند برآمده از آبهای سور حوضه‌ای باشد را می‌توان به عنوان عامل مهم در تهنشست کانی‌ها در مرحله شکل‌گیری کانی‌سازی باریت و کلسیت دانست. همچنین توالی کانی‌ای در کانی‌سازی‌های رگه‌ای در منطقه مشکان نشان دهنده تغییر کانی‌های رسی (دگرسانی آرژیلیک) به کانی‌سازی اصلی همراه با کوارتز و باریت و سرانجام رکه و رکچه‌های تاخیری کلسیت است. تغییرات در مجموعه همبری نشان دهنده تکامل محلول گرمابی از شرایط  $pH$  اسیدی به قلیایی است.

کانسارهای باریت گرمابی در دمای  $150$  تا  $300$  درجه سانتی‌گراد شکل می‌گیرند [۲۱-۲۳]. شوری در این سامانه‌ها دارای گستره‌ای از نزدیک به آب دریا ( $3/2$  درصد وزنی نمک طعام [۲۴]) تا مقادیر بیش از آن است. کانسار باریت مشکان از نظر دمایی و شوری مشابه باریت‌های گرمابی است. همچنین، چنان که پیشتر نیز اشاره شد، مقادیر پایین  $TiO_2$  (کمتر از  $1$  درصد) در این کانسار مشابه کانسارهای باریت گرمابی است.

کلسیت  $10/4$ - $1$  تا  $9/3$ - $9$  درجه سانتی‌گراد است (جدول ۳ و شکل ۷ ب).

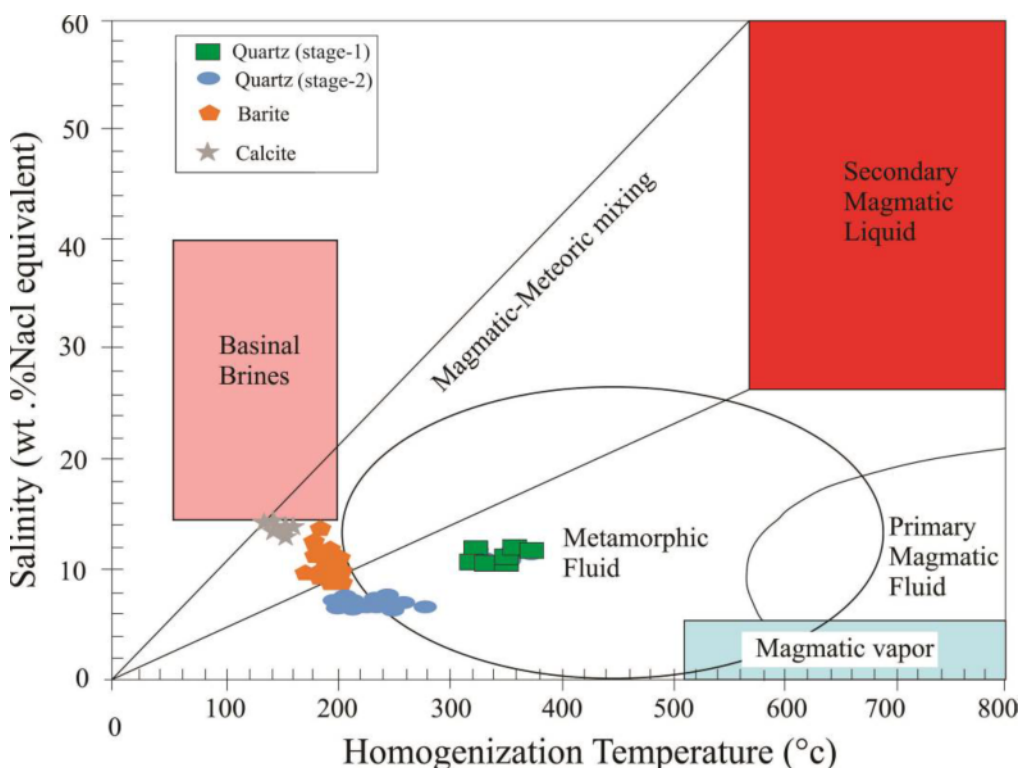
مقدار شوری براساس سامانه  $NaCl-H_2O$  [۱۸] برای سیال‌های درگیر از کوارتز نسل اول بین  $10/5$  تا  $12$  درصد وزنی  $NaCl$  با میانگین  $11/89$  درصد وزنی  $NaCl$ ، کوارتز نسل دوم بین  $6$  تا  $8$  درصد وزنی  $NaCl$  با میانگین  $7/6$  درصد وزنی  $NaCl$ ، نوع باریت بین  $9/2$  تا  $13/83$  درصد وزنی  $NaCl$  با میانگین  $10/51$  درصد وزنی  $NaCl$  و برای نوع کلسیت بین  $13/17$  تا  $14/35$  درصد وزنی  $NaCl$  با میانگین  $13/62$  درصد وزنی  $NaCl$  متغیر است (جدول ۳ و شکل ۷ ب).

چگالی این سیال‌ها بر پایه سامانه  $0/85$  [۲۰]  $NaCl-H_2O$  تا  $0/92$  گرم بر سانتی‌متر مکعب با میانگین  $0/9$  گرم بر سانتی-متر مکعب برای کوارتز نسل اول،  $0/72$  تا  $0/83$  گرم بر سانتی‌متر مکعب با میانگین  $0/76$  گرم بر سانتی‌متر مکعب برای کوارتز نسل دوم،  $0/71$  تا  $0/95$  گرم بر سانتی‌متر مکعب برای نوع باریت و  $1$  تا  $1/02$  گرم بر سانتی‌متر مکعب با میانگین  $1$  گرم بر سانتی‌متر مکعب برای نوع کلسیت است (جدول ۳ و شکل ۷ ت).

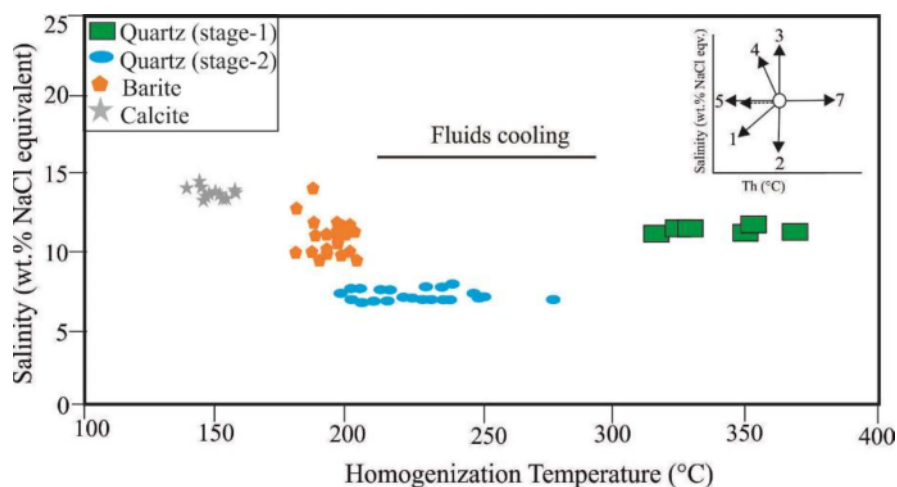
## بحث

نمودار شوری نسبت به دمای همگن شدگی سیال‌های درگیر برای محیط آبهای مختلف (شکل ۸) نشان می‌دهد که سیال‌های درگیر باریت و کلسیت در منطقه مشکان در گستره آمیختگی آب ماقمایی و آبهای جوی و کوارتز در محیط آب-های دگرگونی قرار دارند. از آنجا که آثار دگرگونی ناحیه‌ای در این منطقه وجود ندارد، فرضیه دخالت آب دگرگونی در حمل فلزات رد می‌شود. بنابراین می‌توان محلول کانه‌دار را آمیزه‌ای از آب ماقمایی و آب جوی در نظر گرفت.

آنچه در نمودار شوری-دمای همگن شدگی سیال‌های درگیر مورد توجه است، دو دسته شدن سیال‌ها با روند خطی مستقیم در کانی کوارتز است این امر نشان می‌دهد که دو نوع کوارتز در منطقه وجود دارد که از دو سیال با دما و شوری متفاوت تشکیل شده‌اند. دمای همگن شدگی و شوری سیال‌های درگیر برای نسل اول کوارتز به ترتیب  $310$  تا  $375$  درجه



شکل ۸ نمودار دمای همگن شدنی سیال‌ها در شوری منطقه مشکان (محیط‌های تعریف شده بر گرفته از مرجع [۲۵] هستند.



شکل ۹ نمودار شوری-دمای همگن شدنی سیال‌های درگیر منطقه مشکان. روندهای ممکن تکامل سیال در نمودار دما-شوری برگرفته از مرجع [۱۹] هستند (روند ۱=مخلوط شدنی سیال A با سیال سردتر و شوری کمتر B، روندهای ۲ و ۳=مخلوط شدنی سیال A با سیال‌های دیگر با شوری مختلف ولی دمای یکسان، روند ۴=افراش شوری فاز باقیمانده در اثر جوشش، روند ۵=سرد شدنی سیال، روند ۶=باریک شدنی میان‌بارهای سیال و روند ۷=ترواش میان‌بارهای سیال طی گرمایش).

به سن ائوسن (کنگلومرا و ماسهسنگ) انجام شده است. کانی-شناسی رگه‌ها بسیار ساده (باریت، کوارتز و کلسیت) و از نظر زمان شکل‌گیری جوانتر از ائوسن هستند. بیشترین بیهنجاری-های زمین شیمی در رگه‌ها برای روی ۳۹۴ گرم در تن،

**برداشت**  
بر پایه بررسی‌های انجام شده در منطقه اکتشافی باریت مشکان، کانی‌سازی به صورت رگه‌ای (با راستای بیشتر شمال-غربی-جنوب‌شرقی و کمتر شمالی-جنوبی) در واحدهای رسوبی

*northeastern Iran*", Geological Society of American Bullitan 103 (1991) 983-992.

[4] Karimpur M.H., Malekzadeh Shafaroudi A., Esfandiarpour A., Mohammadnejad H., "Nyshabour Turquoise mine: The first Cu-Au-ULREE IOCG type in Iran (in Persian)", Iranian Journal of Economic Geology 3 (2012) 193-216.

[5] Gholami S., "Geology, mineralization, geochemistry, and magnetometry of Shotor Sang iron deposit, NE Sabzevar", Ms.C thesis, Ferdowsi University of Mashhad, Mashhad (2009) 240p.

[6] Panahi M., "Geology, petrography, alteration and geochemistry in eastern part of Hamdi kaolin of Halak Abad (southwestern Sabzevar) with view of copper porphyry exploration, and study of mineralization, geochemistry and magnetometry in eastern of Abozar iron mine, Neyshabour (northeastern of Sabzevar)", Ms.C thesis, Ferdowsi University of Mashhad, Mashhad (2009) 411p.

[7] Fatehi H., "Geology, mineralization, and geochemistry of Jalambadan prospect area, NW Sabzevar", Ms.C thesis, Ferdowsi University of Mashhad, Mashhad (2013) 240p.

[8] Zaree A., Malekzadeh Shafaroudi A., Karimpour M.H., "Khanlogh magnetite-apetite deposit, NW Neyshabour: Mineralogy, structure and texture, alteration, and determination of model (in Persian)", Irananian Journal of Crystallography and Mineralogy 1 (24) (2016) 131-144.

[9] Amini B., "Geological map of Mashkan", Scale 1:100,000. Geological Survey of Iran, (2006).

[10] Yazarlo M.A., "Report of the end of Operation Barite Meshkan", (2014) 111p.

[11] Steele-MacInnis M., Lecumberri-Sanchez P., Bodnar R.J., "HOKIEFLINCS-H<sub>2</sub>O-NACL: A Microsoft Excel spreadsheet for interpreting microthermometric data from fluid inclusions based on the PVTX properties of H<sub>2</sub>O-NaCl", Computer in Geosciences 49 (2012) 334-337.

[12] Rutherford M. J., Devine, A. D., "Magmatic conditions and magma ascent as indicated by Hornblende phase equilibria and reaction in the 1995-2002, Soufriere Hills Magma", Petrology 44 (2003) 1433-1484.

[13] Pearce T. H., Russell J. K., Wolfson I., "Laser-interference and normarski interference

آنتیموان ۵۲ گرم در تن و سرب ۹۰ گرم در تن است. اغلب سیال‌های درگیر در نمونه‌های کوارتز، باریت و کلسیت به شکل تا شکل دار (مخروطی و به مقدار کمتر میله‌ای) و با اندازه حدود ۴ تا ۱۲ میکرون هستند. کمترین دمای تشکیل باریت ۱۸۱ تا ۳۷۵ درجه سانتی‌گراد بوده و از محلولی دربردارنده نمک‌های CaCl<sub>2</sub> و NaCl، با شوری ۶ تا ۱۳٪ درصد وزنی نمک طعام ایجاد شده است. هم‌زمان با کاهش دما در سیال‌ها، شوری آنها نیز افزایش یافته است (سیال‌ها در کانی‌های باریت و کلسیت). به نظر می‌رسد که کاهش دما و آمیختگی با سیالی با شوری بالا (که می‌تواند برآمده از آبهای شور حوضه‌ای باشد) می‌توانند مهمترین عوامل شکل‌گیری کانی‌سازی باشند. کنترل ساختاری، کانی‌شناسی ساده، بافت، زمین شیمی و نتایج سیال‌های درگیر نشان از شکل‌گیری باریت در شرایط گرمایی دارد.

توده مربوط به کانی‌سازی در منطقه شناسایی نشد. بنابراین این احتمال وجود دارد که توده عامل کانی‌سازی در عمق یا در فاصله‌ای دورتر از منطقه مورد بررسی باشد. داده‌های زمین شیمیایی بی‌هنجری عنصری چون آنتیموان، روی و سرب را در رگه‌های باریت نشان می‌دهد. به احتمال بسیار، با توجه به بی‌هنجری‌های آنتیموان، سرب و روی منطقه مورد بررسی در بخش لبه‌ای و بالایی از یک سامانه کانی‌سازی هستند و محلول ماقمایی در عمق کانی‌سازی را کنترل می‌کند.

#### قدرتانی

این پژوهش با حمایت مالی دانشگاه فردوسی مشهد در ارتباط با طرح شماره ۳۴۹۱۱۷ ۱۳۹۸/۲/۳ مورخ انجام شده است. از سرکار خانم محبوبه مرادی، آفایان حجت غلامی و علی حسینی برای همراهی در بی‌جویی‌های صحرابی، جناب آقای مهندس علی تنها برای در اختیار قرار دادن اطلاعات اولیه و جناب آقای ابراهیم عاشق برای دراختیار گذاشتن منزل جهت اسکان در منطقه کمال تشکر را داریم.

#### مراجع

- [1] Ghorbani M., "The economic geology of Iran: mineral deposits and natural resources", Springer, New York (2013).
- [2] USGS., "Barite (Advance Release)", US Geol Surv Miner Yearb-2009 (2011).
- [3] Alavi M., "Sedimentary and structural characteristics of the Paleo-Tethys remnants in

*homogenize by halite disappearance”, Geochimica et Cosmochimica Acta 92 (2012) 14-22.*

[21] Herzig P.M., Hannington M.D., Fouquet Y., von Stackelberg U., Petersen S., “*Goldrich polymetallic sulfides from the Lau back arc and implications for the geochemistry of gold in seafloor hydrothermal systems of the Southwest Pacific*”, Econ Geol 88 (1993), 2182-2209.

[22] de Ronde C.E.J., Faure K., Bray C.J., Chappell D.A., Wright I.C., “*Hydrothermal fluids associated with seafloor mineralization at two southern Kermadec arc volcanoes, offshore New Zealand*”, Miner Deposita 38 (2003), 217-233.

[23] Petersen, S., Herzig, P.M., Schwarzschaumpera, U., Hannington, M.D., Jonasson, I.R., *Hydrothermal precipitates associated with bimodal volcanism in the Central Bransfield Strait, Antarctica*”, Miner Deposita 39 (2004), 358-379.

[24] Bischoff, J.L., Rosenbauer, R.J., “*The critical point and two-phase boundary of seawater, 200–500 °C*”, Earth Planet Sci Lett 68 (1984), 172-180.

[25] Bean, R.E., “*The magmatic-meteoric transition*”, Geothermal Resources Council, Special Report 13 (1983), 245-225.

*imaging of zoning profiles in plagioclase phenocrysts from the May 18, 1980, eruption of Mount St. Helens, Washington”, American Mineralogist 72 (1987) 1131-1143.*

[14] Whitney D.L., Evans B.W., “*Abbreviations for names of rock-forming minerals*”, American Mineralogist 95 (2010) 185-187.

[15] Seward T.M., Barnes H.L., “*Metal transport by hydrothermal ore fluids*”, Geochemistry of hydrothermal ore deposits 3 (1997) 435-486.

[16] Barnes H. L., “*Geochemistry of hydrothermal ore deposits*”, Third edition, New York, John Wiley and Sons, (1997) 797pp.

[17] Lottermoser B.G., Ashley P.M., “*Geochemistry and exploration significance of ironstones and barite-rich rocks in the Proterozoic Willyama Supergroup, Olary Block, South Australia*”, Journal of Geochemical Exploration 57 (1996) 57-73.

[18] Roedder E., “*Fluid Inclusions*”, In: Ribbe PE (ed) Reviews in Mineralogy, 12, Mineral Soc Am, Washington DC, (1984) 1-644.

[19] Shepherd T. J., Rankin A. H., Alderton D. H. M., “*A practical guide to fluid inclusion studies*”, Blackie, London (1985).

[20] Lecumberri-Sanchez P., Steel-MacInnis, M., Bodnar, R.J., “*A numerical model to estimate trapping conditions of fluid inclusions that*